



بررسی عددی جریان نوسانی درون یک میکرووالو تسلا

کاظم محمدزاده^۱، محمدرضا قریب^{۲*}، مسعود عباسی^۳

۱-دانشجوی دکتری، مهندسی مکانیک، دانشگاه تربیت مدرس، تهران

۲-استادیار، مهندسی مکانیک، دانشگاه تربیت حیدریه، تربیت حیدریه

۳-کارشناسی، مهندسی مکانیک، دانشگاه تربیت حیدریه، تربیت حیدریه

* تربیت حیدریه، صندوق پستی ۹۵۱۶۱۶۸۵۹۵

چکیده

در پژوهش حاضر به بررسی عددی عملکرد میکرووالو تسلا در شرایط جریان سه بعدی و غیردائم پرداخته می شود. از متوسط زمانی پارامتر یکسوسکنندگی به عنوان معیار اصلی برای ارزیابی عملکرد والو استفاده می شود. با انجام شبیه سازی ها و بدست آوردن میدان های سرعت و فشار درون میکرووالر، تغییرات پارامترهای عملکردی میکرووالر تسلا شامل افت فشار و پارامتر یکسوسکنندگی در محدوده فرکانس های مختلف تحت اعمال تحریک سینوسی مورد بررسی قرار می گیرد. بررسی ها نشان داد که شبیه سازی سه بعدی پایا با در نظر گرفتن افت فشار بعد سوم، در تمام محدوده اعداد رینولز مورده بررسی مقایر پارامتر یکسوسکنندگی کمتری را نسبت به شبیه سازی دارد. اثرات گذرا بر عملکرد میکرووالو در حالت سه بعدی نیز بررسی شد و مشاهده شد که افت فشار کل در پاسخ حالت غیردائم میکرووالر در دو جهت رفت و برگشت از پاسخ حالت دائم آن بیشتر می باشد. این نتیجه مهم با نتایج مایر محققان در این زمینه که شبیه سازی خود را به صورت دو بعدی انجام داده بودند، هم خوانی کیفی داشت. بررسی اثر فرکانس اعمالی بر عملکرد میکرووالو تسلا در اعداد رینولز مختلف، بخش دیگری از پژوهش حاضر بود. نتایج نشان داد که که عملکرد میکرو والو تسلا در فرکانس های پایین تر از ۱۰۰ هرتز مستقل از فرکانس اعمالی بوده در حالی که در فرکانس های بالاتر از ۱۰۰ هرتز عملکرد آن با افزایش فرکانس بهبود می باشد. در تمامی فرکانس ها با افزایش عدد رینولز، عملکرد میکرووالو بهبود می یابد و مقدار یکسوسکنندگی آن افزایش می یابد.

اطلاعات مقاله

مقاله پژوهشی کامل

دراقت: ۰۹ آبان ۱۳۹۶

پذیرش: ۲۰ آذر ۱۳۹۶

ارائه در سایت: ۱۵ دی ۱۳۹۶

کلید واژگان:

میکرووالو تسلا

یکسوسکنندگی

شبیه سازی سه بعدی

جریان غیردائم

Numerical investigation of oscillatory fluid flow through a tesla microvalve

Kazem Mohammadzadeh¹, Mohammad Reza Gharib^{2*}, Masoud Abbasi²

1- Department of Mechanical Engineering, Tarbiat Modares University, Tehran, Iran

2- Department of Mechanical Engineering, University of Torbat-e-Heydarieh, Torbat-e-Heydarieh, Iran

* P.O.B. 9516168595 Torbat-e-Heydarieh, Iran, m.gharib@torbath.ac.ir

ARTICLE INFORMATION

Original Research Paper

Received 31 October 2017

Accepted 11 December 2017

Available Online 05 January 2018

Keywords:

Tesla Microvalve

Dioidicity

Three-dimensional simulation

Unsteady flow

ABSTRACT

In the present research, the performance of a Tesla microvalve has been studied under the unsteady three dimensional flow. The time averaged of diodicity is the main criteria for the evaluation of the performance of the valve. By simulation and obtaining the velocity and pressure fields within microvalve, changes in operating parameters of valve including total pressure drop and diodicity parameter in the range of various frequencies studied under sinusoidal excitation. The results showed that the amount of diodicity in steady three dimensional with consideration of third dimension is lower with respect to steady two dimensional flow at entire of studied range of Reynolds numbers. Transient effects on microvalve performance in three dimensional is also studied. It is observed that total pressure drop of unsteady case is greater than steady case at both of forward and backward directions. This important result is in a qualitative agreement with simulation results of other researchers which are obtained by two dimensional simulations. Investigation of effect of applied frequency on Tesla microvalve performance at different Reynolds number is another part of this study. The results showed that at the frequencies lower than 100Hz, the performance of the Tesla microvalve is independent of the frequency, however at higher frequencies greater than 100HZ, its performance is improved by increasing the frequency. Microvalve performance is improved and diodicity is increased by increasing of Reynolds number at all frequencies.

۱- مقدمه

میکروپمپ ها یکی از شاخه های مهم سیستم های میکروالکترومکانیکی هستند که برای انتقال دقیق و کنترل شده حجم هایی از مرتبه میکرولیتر یا نانولیتر بکار می روند. در میان انواع مختلف میکروپمپ ها، نمونه بدون دریچه که از نوع رفت و برگشتی می باشد، به دلیل مقایسه پذیری، ماندگاری و سادگی

برای ارجاع به این مقاله از عبارت ذیل استفاده نمایید:

K. Mohammadzadeh, M. R. Gharib, M. Abbasi, Numerical investigation of oscillatory fluid flow through a tesla microvalve, *Modares Mechanical Engineering*, Vol. 18, No. 04, pp. 199-210, 2018 (in Persian)

هزینه های محاسباتی و روند مشابه نتایج مربوط به حالت دائم و غیر دائم می باشد.

در مطالعات [4-6] اثرات جریان غیر دائم بر عملکرد میکروشیر نازل-دیفیوزر بررسی شده است. سان و هوانگ [4] رفتار گذای میکروشیر دیفیوزر را در حالت سبعدی بررسی کردند. اثر فرکانس تحریک و نیمزاویه دیفیوزر به عنوان دو پارامتر اصلی بر یکسوکنندگی شیر در نظر گرفته شدند. شرط مرزی فشار سینوسی وابسته به زمان با دامنه ثابت، در ورودی شیر و شرط مرزی فشار صفر در خروجی شیر اعمال شدند. وانگ و همکاران [5] به صورت عددی عملکرد یک میکروکانال دارای دیفیوزر با نیمزاویه 20 درجه را تحت هردو شرایط پایا و غیر پایا را در دو حالت دوبعدی و سه بعدی بررسی کردند و اثر ضریب منظری (نسبت عمق به عرض گلوگاه دیفیوزر) را نیز در نظر گرفتند. مشخص شد که نتایج برای ضریب منظری بزرگتر از 4 با نتایج حالت دوبعدی متناظر است. بعلاوه از تحلیل پایا دریافت شد که برای عدد رینولدز بزرگتر از 10 یکسوکنندگی بزرگتر از 1 خواهد بود و از تحلیل غیرپایا یک عدد استرöhال بهینه 0.013 با بیشینه دبی خالص به دست آمد. همچنین رابطه خطی بین دامنه فشار رامانداز و دبی خالص بدست آمد. چانگ و همکاران [6] با تحلیل دینامیکی و سه بعدی یک میکروشیر جدید، اثر هندسه را روی دبی خالص در مقایسه با میکروشیر نازل-دیفیوزر بررسی کردند. رفتار جریان گذرا با اعمال یکتابع فشار سینوسی در مز ورودی و فشار صفر در مز خروجی در میکروشیر جدید با ساختارهای دندانهای در زوایای مختلف بررسی شد. پارامترهای هندسی شامل نیمزاویه دیفیوزر، زاویه دندانهای و فرکانس تحریک بودند. نتایج نشان داد که دبی به فرکانس تحریک وابسته است و میکروشیر جدید دبی بیشتری را می تواند تولید کند.

تماسون و همکاران [7] در سال 2014، اثرات استفاده از شیرهای تسلای چندگانه با شکل های یکسان و به صورت سری (شیر تسلای چندطبقه ای) را به صورت سه بعدی از نظر یکسوکنندگی در شرایط آرام را بررسی کردند. تعداد شیرهای تسلای تا حدود 20 عدد، فاصله شیر تا شیر تا حدود 3.375 برابر قطر هیدرولیکی و عدد رینولدز تا حدود 200 برای تعیین اثرات آنها بر رو یکسوکنندگی شیر تسلای چندطبقه تغییر داده شد. نتایج نشان داد که یک شیر تسلای چندطبقه، یکسوکنندگی خیلی بیشتری از شیر تک طبقه ارائه می کند و اینکه این اختلاف با عدد رینولدز افزایش می یابد. همچنین نتیجه گرفته شد که شبیه سازی های دینامیک سیالات محاسباتی سه بعدی به طور دقیق تری جریان درون شیر تسلای در محدوده وسیع تری از اعداد رینولدز نسبت به شبیه سازی های دوبعدی، شبیه سازی می کنند.

دنایی و همکاران [8] در سال 2016 با تغییر طول های داخلی مینی والو تسلای (ابعاد از مرتبه میلی متر)، مینی والوی با کارایی بهتر ارائه کردند. شبیه سازی آنها دوبعدی و پایا بود. نتایج آنها نشان داد در حالتی که مسیر پای پس امتداد کانال ورودی را قطع کند، بیشترین کارایی بدست می آید.

ساتو و همکاران در سال [9] 2017 با استفاده از روش بهینه سازی توپولوژی دوهدفه با کمینه کردن افت فشار در جهت رفت و بیشینه کردن آن در جهت برگشت در حالت دائم طراحی بهینه ای برای والهای فاقد اجزای متحرک نظری والو تسلای پیشنهاد دادند و کارایی روش خود را با حل عددی نشان دادند.

در مطالعات قبلی نویسنده [2,1] شبیه سازی ها به صورت دوبعدی و دائم انجام شده بودند. با توجه به اینکه میکروپیمپ های رفت و برگشتی در شرایط غیر دائم کار می کنند، بررسی دقیق عملکرد میکرو والو تسلای به عنوان یکی از اجزای اصلی این نوع میکروپیمپ ها، تیازمند شبیه سازی های سبعدی و

و آسان، نداشتن اجزای متحرک و عدم نیاز به کنترل بیرونی به کارگیری این نوع شیرها توصیه می شود. دو نوع اصلی این میکروشیرهای ثابت، میکرو دیفیوزرها و میکروشیرهای تسلای هستند [1]. هندسه کانال میکروشیر تسلای موجب مقاومت های متفاوتی در جهت رفت و برگشت جریان می شود. خاصیت یکسوکنندگی این نوع شیر عمدتاً ناشی از تفاوت زوایای برخورد کانال ها در دو قسمت شیر می باشد که باعث پدید آمدن مقاومت بیشتر جریان برگشت در مقایسه با جریان رفت می گردد (شکل 1). عملکرد شیر تسلای به خاطر اثر اینرسیایی سیال است. با این وجود بسته به این که شیر در چه بازه ای فرکانسی کار کند می تواند اثرات ویسکوز نیز مورد اهمیت واقع شوند.

مطالعات عددی و تجربی زیادی بر روی میکروشیر تسلای انجام گرفته است که در مقاله قبلی نویسنده به طور کامل به آنها پرداخته شده است [2,1]. در سال 2013 محمدزاده و همکاران [2] به بررسی اثر تعداد طبقات و اندازه بر عملکرد میکروشیر تسلای ارائه شده توسط کلاهدوز [3] پرداختند و عملکرد آن را با میکروشیر نازل-دیفیوزر مقایسه کردند. آنها پاسخ حالت دائم و غیر دائم شیر را در حالت تک طبقه با هم مقایسه کردند. شبیه سازی ها به صورت دوبعدی و تنها برای فرکانس 100 Hz انجام شده بود. برای شبیه سازی حالت غیر دائم از شرط مرزی سرعت متغیر با زمان که به صورت تابعی سینوسی اعمال می شد، استفاده گردید. پاسخ حالت دائم و غیر دائم شیر که به صورت نمودار یکسوکنندگی بر حسب رینولدز استخراج شد، مقداری تفاوت بین دو حالت را نشان می داد اما روند تغییرات مشابه بود. در نهایت برای سایر شبیه سازی ها از حل های دوبعدی و حالت پایا استفاده گردید. نتایج نشان داد که در شرایط جریان یکسان حداقل یکسوکنندگی میکروشیر دوطبقه تقریباً 45% بیشتر از حالت تک طبقه است و حالت دوطبقه از شیر تسلای در بین چیدمان های مورد بررسی (یک تا چهار طبقه) از نظر افزایش یکسوکنندگی، میزان فشردگی و قابلیت سازگاری در کاربردهای مختلف بهترین گزینه است. همچنین، عملکرد میکروشیر یکسوکنندگی در سه اندازه متفاوت با یک نمونه میکروشیر نازل-دیفیوزر مقایسه شد. مقایسه ها نشان داد که یکسوکنندگی بر حسب عدد رینولدز مستقل از اندازه شیر است. همچنین برتری شیر تسلای در اعداد رینولدز بالاتر و ضعف این نوع شیر در اعداد رینولدز پایین تر نسبت به نمونه نازل-دیفیوزر نشان داده شد.

مطالعه کارهای انجام شده در زمینه بهینه سازی هندسه میکروشیر تسلای نشان می دهد که بررسی و مقایسه میکروشیرهای بدون اجزای متحرک (نازل-دیفیوزر و تسلای) برای جریان در حالت دوبعدی و پایا با استفاده از پارامتر یکسوکنندگی صورت گرفته است. همانطور که واضح است بمباز در میکروپیمپ های بدون دریچه نوعاً به یک راه انداز مشخص نیاز دارد که سیستم را در یک وضعیت تناوبی متغیر با زمان راه اندازی می کند. این در حالی است که اکثر مطالعاتی که تاکنون بر روی میکروشیرهای تسلای انجام شده است، به سادگی پاسخ حالت پایا شیر را در نظر گرفتند. دلیلی که برای این امر در مطالعات قبلی ذکر شده است، پیچیدگی های تحلیل گذرا، کاهش



Fig. 1 The effect of difference between conjunction angles on the creation of diodicity property [1]

شکل 1 تاثیر تفاوت زوایای اتصال کانال در ایجاد خاصیت یکسوکنندگی [1]

در حل یک مسأله به طریق عددی می‌باشد پس از همگرایی حل، بررسی استقلال جواب بست آمده از شبکه محاسباتی مورد استفاده مورد بررسی قرار گیرد. می‌توان از پارامتر یکسوکنندگی و افت فشار محاسبه شده در خروجی میکروشیر به عنوان پارامتر مناسب جهت مقایسه جواب در شبکه‌های مختلف استفاده کرد. به عنوان معیار همگرایی، لازم است که حل‌گر تکرارها را انجام دهد تا اینکه مانده‌های نرمالیزه شده به مقدار کمتر از 10^{-4} بررسید یا اینکه در یک مقدار ثابت به اندازه کافی کوچک که همگرایی را تضمین کند، پایدار شوند. توضیح بیشتر در رابطه با مطالعه شبکه و نتایج مربوط به آن در بخش بعدی ارائه خواهد شد.

به دلیل اهمیت اثرات گذرا در شیر که پیشتر به آن اشاره شد، جهت مطالعه سازوکار یکسوکنندگی از شبیه‌سازی‌های حالت ناپایا استفاده می‌شود. شرط مرزی عدم لغزش، روی تمامی دیوارهای فرض می‌شود. فرض می‌شود که فشار نسبی در خروجی همواره صفر است و جهت شبیه‌سازی شرایط غیردائمی که شیر آن را در ساختمان میکروپمپ تجربه می‌کند، از شرط مرزی سرعت نوسانی استفاده می‌شود. اگر سرعت متوسط حرکت توده در هر نیم سیکل، \bar{V} باشد، برای مدل سازی حرکت رفت و برگشتی سیال در میکروشیر، از توابع سرعت هارمونیکی به صورت معادله (4)، به عنوان شرط مرزی استفاده می‌شود.

$$V(t) = \frac{\pi}{2} \times \bar{V} \times \sin(2\pi \times f \times t) \quad (4)$$

دامنه این تابع در هر فرکانس مقدار ثابتی فرض شده است، یعنی در مرز ورودی شیر، سرعت با مکان عرضی میکروکانال تغییر نمی‌کند. حل مسأله برای مقادیر مختلف \bar{V} متناظر با حل مسأله برای اعداد رینولز مختلف است. عدد رینولز براساس قطر هیدرولیکی میکروکانال توسط معادله (5) تعریف می‌شود که D و W عرض و عمق میکروکانال می‌باشند.

$$Re = \frac{\rho_f \bar{V} D_h}{\mu_f}, \quad D_h = \frac{2WD}{W+D} \quad (5)$$

در هندسه مورد بررسی اعداد رینولز مورد بررسی با توجه به مرجع [2]، تقریباً اعداد 100، 152 و 213 می‌باشند که از D (عرض میکروکانال) در رابطه عدد رینولز استفاده شده است. همانطور که مشخص است، قطر هیدرولیکی برای کانالی به قطر D در حالت دوبعدی (2-D) برابر $2D$ می‌باشد. در نتیجه جهت بیان دقیق‌تر عدد رینولز، اعداد رینولز فوق می‌باشد تو برابر شوند به عبارتی اعداد رینولز جدید، 104، 200، 304 و 426 خواهند بود. جهت انجام محاسبات در حالت سه‌بعدی (3-D)، از همین اعداد رینولز استفاده می‌شود. با برای قرار دادن اعداد رینولز در حالت 2-D و 3-D معادله (6) برای سرعت‌های اعمالی به عنوان شرط مرزی حاصل می‌شود.

$$\bar{V}_{3-D} = 1.0833\bar{V}_{2-D} \quad (6)$$

با توجه به مقادیر مختلف \bar{V} در حالت 2-D 0.085، 0.165، 0.25 و 0.35 m/s که از مرجع [2] استخراج شده است، مقادیر مختلف \bar{V} در حالت 3-D با توجه به معادله (6) به ترتیب عبارتند از 0.092، 0.179 و 0.271 (0.379 m/s). بنابراین مسأله در حالت سه‌بعدی با اعمال این \bar{V} ها در معادله (4) به عنوان شرط مرزی حل خواهد شد. شایان ذکر است که از حل جریان پایا با ورودی V_{max} به عنوان شرط اولیه حل گذرا استفاده شده است که رابطه V_{max} برای تحریک سینوسی به صورت $\frac{\pi}{2}$ می‌باشد. لذا مقدار V_{max} برای اعداد رینولز 104، 200، 304 و 426 به ترتیب برای با 0.426، 0.281، 0.145 و 0.595 خواهد بود. پس از حل جریان پایا، شرط

غیر دائم می‌باشد که در مقاله حاضر برای اولین بار به آن پرداخته شده است و اثر فرکانس کاری بر عملکرد میکرووالو تسلای دوطبقه مورد بررسی قرار گرفته است. در این راستا با اعمال شرایط مرزی متغیر با زمان که به حالت واقعی نزدیک تر است، عملکرد شیر با مینا فشار دادن افت فشار تولیدی و نسبت یکسوکنندگی مورد بررسی قرار خواهد گرفت. در نهایت پارامترهای عملکردی میکروشیر تسلای شامل افت فشار و پارامتر یکسوکنندگی در محدوده فرکانس‌های مختلف تحت اعمال تحریک سینوسی بررسی می‌شود.

2- فرمول بندی و معادلات حاکم

مشخصه مهمی که تعیین کننده توانایی شیر برای گذراندن جریان در مسیر پیشرو و جلوگیری از عبور جریان از مسیر برگشت می‌باشد نسبت یکسوکنندگی نام دارد که به صورت معادله (1) تعریف می‌شود [10]. انتظار می‌رود که یکسوکنندگی در شکل فشار بدون بعد، تابعی از عدد رینولز باشد [11].

$$Di = \left(\frac{\Delta P_{\text{Backward}}}{\Delta P_{\text{Forward}}} \right)_Q \quad (1)$$

با توجه به ابعاد میکروشیر مورد بررسی می‌توان دریافت که اولاً طول‌های مشخصه بسیار بزرگتر از پوشش آزاد مولکول‌های آب هستند که گویای وجود شرایط پیوستگی در میکروکانال‌ها است و بنابراین می‌توان برای مدل سازی، معادلات ناویر-استوکس را به کار برد و شرایط مرزی عدم لغزش روی دیوارهای را نیز با اطمینان اعمال کرد. دوم اینکه که عدد رینولز جریان در شرایط اختلاف فشار اعمالی در محدوده رژیم آرام می‌باشد ($Re < 400$). فرض می‌شود که سیال آب و جریان تراکم ناپذیر و نیوتونی با خواص ثابت باشد. براساس این فرضیات و با صرف نظر از نیروهای حجمی معادله پیوستگی و سه بعدی مومنتوم در حالت غیر دائم به ترتیب به شکل روابط (2) و (3) در خواهد آمد:

$$\frac{\partial U_j}{\partial x_j} = 0 \quad (2)$$

$$\rho_f \left[\frac{\partial U_i}{\partial t} + U_j \frac{\partial U_i}{\partial x_j} \right] = - \frac{\partial P}{\partial x_i} + \frac{\partial}{\partial x_j} \left[\mu_f \left(\frac{\partial U_i}{\partial x_j} + \frac{\partial U_j}{\partial x_i} \right) \right] \quad (3)$$

3- روش حل عددی جریان در میکروشیر

شکل 2 هندسه میکروشیر مورد بررسی را نشان می‌دهد. عرض همه کانال‌های میکروشیر 120 میکرون، عمق آن 80 میکرون و عرض دهانه‌های ورودی و خروجی 960 میکرون می‌باشد. تمامی این مقادیر، مقادیری است که محمدزاده و همکاران [2] برای طراحی میکروشیر خود به کار برداشتند.

حل عددی معادلات حاکم به کمک نرم افزار فلوبنت 15 صورت می‌گیرد. این کد تجاری، مبتنی بر دینامیک سیالات محاسباتی بوده و از روش حجم محدود استفاده می‌کند و شبکه‌های بی‌سازمان را نیز پشتیبانی می‌کند. از نرم افزار پیش پردازنده گمیت 2.4 برای مدل سازی و تولید شبکه مورد نیاز حل‌گر استفاده می‌شود. مبنای گسسته‌سازی بر اساس فرمول بندی حجم محدود بوده و کوپلینگ به کار رفته در حل گذرا برای سرعت و فشار از نوع الگوریتم پیزو¹ (فشار ضمیمی با تقسیم اپراتورها) می‌باشد. از طرح بالادستی مرتبه دوم برای گسسته‌سازی معادلات مومنتوم و از روش ضمیمی مرتبه دوم برای فرمول بندی گذرا استفاده می‌شود. همچنین از طرح تفاضل مرکزی برای گسسته‌سازی جملات دیفیوژن استفاده می‌شود. سیال کاری آب بوده و همانگونه که گفته شد یک محاسبه ساده شرایط رژیم آرام را در میکروکانال تایید می‌کند.

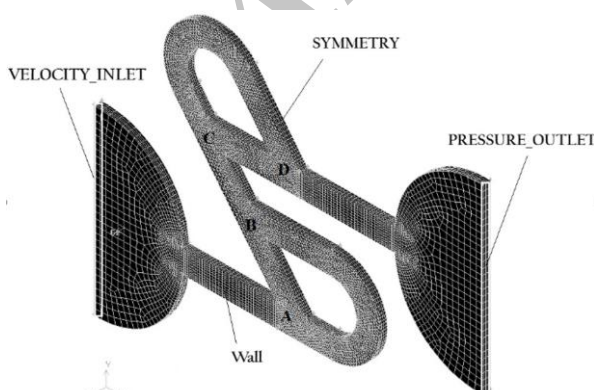
¹ PISO (Pressure-Implicit with Splitting of Operators)

محاسبه شده در دو جهت رفت و برگشت برای شرایط پایا، به عنوان پارامتر مناسب جهت مقایسه جواب در شبکه های مختلف استفاده می شود. این بررسی در بحرانی ترین شرایط مرزی ممکن (بیشترین عدد رینولز) یعنی (426) انجام می شود. در مقایسه حل شبکه درشت با شبکه ظرفیت خطای کمتر از ۵٪ مقدار قابل قبولی فرض شده است. بهطور قطع شبکه به دست آمده برای سایر حالات مورد بررسی (سایر اعداد رینولز) نیز معتبر خواهد بود.

تصحیح شبکه با افزایش چگالی شبکه در مناطقی که گرادیان های سرعت و فشار بزرگ هستند و با کاهش چگالی مش در مناطق غیر حساس صورت گرفته است. علاوه بر این روش مش بندی، از وفق سازی شبکه توسط خود حلگر در مناطق با گرادیان های شدید سرعت و فشار استفاده گردیده است. برای حل پایای میدان جریان در شرایط ورودی شیر با سرعت بیشینه ثابت، به عنوان شرط اولیه حل گذرا، از الگوریتم سیمپل و برای حل گذرا از الگوریتم پیزو (فشار ضمیم با تقسیم اپراتورها) برای اتصال سرعت- فشار استفاده شده است. برای اطمینان از همگرایی از تعییر ضرایب زیر تغییر طول حل بین ۰.۳ تا ۱ استفاده شد. مقادیر باقیمانده برای معادلات منتم و بیوستگی برابر با 10^4 در نظر گرفته شده است.

شکل ۳ مش بندی اولیه انجام شده را به همراه شرایط مرزی اعمال شده، جهت شبیه سازی سه بعدی جریان در میکروشیر نشان می دهد. عمق میکروشیر $80 \mu\text{m}$ در نظر گرفته شد. با فرض متقاضان بودن جریان نسبت به صفحه مرکزی میکروشیر، عمق شبکه محاسباتی $40 \mu\text{m}$ در نظر گرفته شد و از شرط مرزی تقارن استفاده گردید. در شروع از مش های مختلفی برای تعیین اندازه شبکه بهینه و اطمینان از حل های مستقل از شبکه استفاده شد. هفت شبکه مختلف با اندازه های ۴۵۴۶۰، ۸۱۰۲۰، ۶۱۴۴۸، ۱۰۸۱۳۱، ۱۶۱۱۳۵، ۱۴۴۹۵۸، ۳۴۰۴۶۸ و ۲۵۴۸۳۷ مورد بررسی قرار گرفتند. اندازه شبکه از طریق تعداد سلول های موجود در شبکه تعیین شد. از طریق محاسبه افت فشار کل در طول میکروشیر، از حل مستقل از شبکه اطمینان حاصل شد. افت فشار کل برابر با اختلاف فشار ورودی و خروجی میکروشیر می باشد.

شکل ۴ افت فشار کل در طول میکروشیر را در دو جهت رفت و برگشت برای شبکه های مختلف روی یک نمودار، نشان می دهد. چون جریان رفت افت فشار کمتری را نسبت به جریان برگشت تجربه می کند، ابتدا جریان رفت و سپس جریان برگشت مطالعه می شوند و بنابراین، شبکه ریز به دست آمده



شکل ۳ هندسه و مش بندی سه بعدی میکروشیر تسلای مورد بررسی و نام گذاری محل های اتصال کانال ها

^۱ Grid adaptation

مرزی به صورت معادله (7) اعمال می شود.

$$V(t) = V_{\max} \times \sin(2\pi \times f \times (\frac{\tau}{4} - t)) \quad (7)$$

براساس معادله (7) در فاصله صفر تا $\tau/4$ ، سرعت ورودی از مقدار بیشینه منفی (جریان در جهت برگشت) به سمت مقدار صفر تغییر کرده و باعث خروج سیال از ورودی می گردد. در فاصله $\tau/4$ تا $\tau/2$ سیال تغییر جهت داده و سرعت آن از صفر به مقدار بیشینه مثبت (جریان در جهت رفت) تغییر یافته است و در این حالت سیال وارد میکروشیر می گردد. در فاصله $\tau/2$ تا $3\tau/4$ سیال باز هم به مسیر قبلی خود ادامه می دهد تا سرعت آن به صفر برسد. از $3\tau/4$ تا τ سرعت سیال از صفر به مقدار بیشینه منفی تغییر می کند.

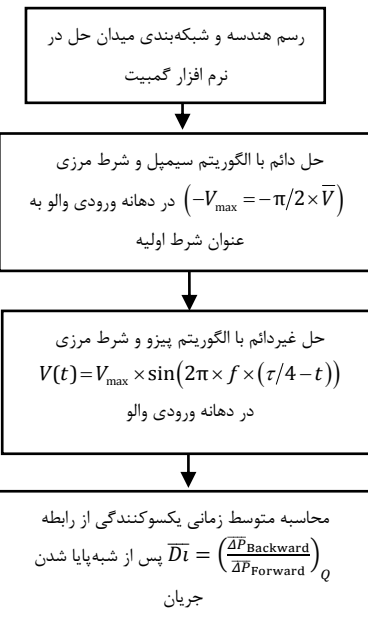
از متوسط زمانی یکسوکنندگی در میکروشیر می توان به عنوان معیارهایی جهت تعیین گام زمانی بهینه استفاده کرد. با توجه به مطالعات انجام شده، برای محاسبه متوسط زمانی یکسوکنندگی (\bar{D}_t)، می باشد جریان در میکروشیر به شرایط شبه پایا همگرا شود، به عبارتی انتگرال منحنی دبی، فشار و سایر متغیرهای جریان بر حسب زمان در ورودی و خروجی شیر تغییر نکند. در نهایت \bar{D}_t با استفاده از آخرین سیکل، با تقسیم متوسط زمانی افت فشار کل در جریان برگشت (وقتی $t < 0$) بر متوسط زمانی افت فشار کل در جریان رفت (وقتی $t > 0$) مطابق معادله (8) محاسبه می شود.

$$\bar{D}_t = \left(\frac{\Delta P_{\text{Backward}}}{\Delta P_{\text{Forward}}} \right)_Q \quad (8)$$

الگوریتم حل غیردائم جریان در میکرووالو تسلای طور خلاصه در شکل ۲ نشان داده شده است.

4- مطالعه شبکه محاسباتی

با حل مسئله در حالت پایا برای بحرانی ترین حالت، یعنی سرعت بیشینه مثبت (حالت رفت) و سرعت بیشینه منفی (حالت برگشت) در دهانه ورودی والو شیر استقلال جواب از شبکه محاسباتی بررسی می شود. شبکه به دست آمده برای حل گذرا (ورودی نوسانی در شیر) نیز مناسب خواهد بود. از افت فشارهای



شکل ۲ الگوریتم حل جریان غیردائم در میکرووالو تسلای

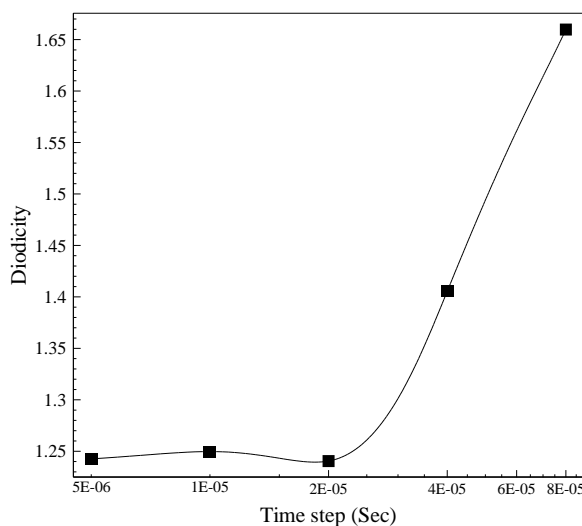


Fig. 5. Change of the diodicity parameter in terms of time step at a frequency of 1000Hz

شکل 5 تغییر پارامتر یکسوزنندگی میکروشیر بر حسب گام زمانی در فرکانس 1000Hz

6- نتایج

اعتبارسنجی روند شبیه‌سازی در شبیه‌سازی دوبعدی قبلی نویسندها [1,2] آمده است. برای اعتبارسنجی، میکرووالو تسلای تکطبقه با همین هندسه بررسی شد و نمودار یکسوزنندگی بر حسب افت فشار نامی با کار عددی کلاهدوز [3] مقایسه گردید که از تطابق خوبی برخوردار بود.

6-1- مقایسه شبیه‌سازی دائم دوبعدی و سه بعدی

در این بخش با استفاده حل پایای جریان در دو جهت رفت و برگشت، پارامتر یکسوزنندگی براساس معادله 1 محاسبه می‌شود. منحنی پارامتر یکسوزنندگی بر حسب عدد رینولذ در شکل 6 در مقایسه با حل دوبعدی [2] ارائه شده است. مشاهده می‌شود که در هردو منحنی با افزایش عدد رینولذ، یکسوزنندگی افزایش می‌یابد ولی نتایج حاصل از شبیه‌سازی سه بعدی در تمام محدوده اعداد رینولذ مورد بررسی مقدار پارامتر یکسوزنندگی کمتری را به نمایش می‌گذارد. این موضوع که حل دوبعدی یکسوزنندگی را بیشتر از واقعیت تخمین می‌زند توسط محققان بسیاری بیان شده است [13-10,7] ولی در نهایت برای بهینه‌سازی والو تسل از شبیه‌سازی دوبعدی کمک گرفته شده است. در حالت سه بعدی به دلیل وجود دیواره در راستای عمق، اصطکاک و افت فشار بیشتری نسبت به حالت دو بعدی که از این افت فشار صرف نظر می‌شود، به خصوص در جهت برگشت، وجود دارد. چون در این مقاله هدف بررسی دقیق‌تر عملکرد میکروشیر تسل‌ها می‌باشد، با توجه به تفاوت کمی نتایج شبیه‌سازی‌ها در بعدی و سه بعدی، می‌توان نتیجه گرفت که تحلیل نتایج دو بعدی برای بررسی کافی نیست و نیاز به شبیه‌سازی‌های سه بعدی می‌باشد. لذا در این تحقیق تمام شبیه‌سازی‌های جریان در میکروشیرها به صورت سه بعدی و البته غیردائم انجام شده است.

6-2- میدان‌های سرعت و فشار

در این بخش نتایج مربوط به فرکانس 1000Hz و عدد رینولذ 426 ارائه می‌شود. نتایج شامل کانتورهای سرعت، بردارهای سرعت و نیز کانتورهای فشار در زمان‌های مختلف عملکرد میکروشیر تسلای مورد بررسی می‌باشد.

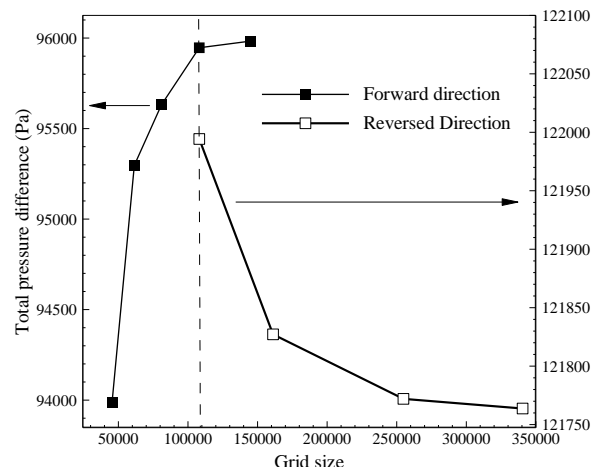


Fig. 4 افت فشار کل جریان رفت و برگشت برای شبکه‌های مختلف

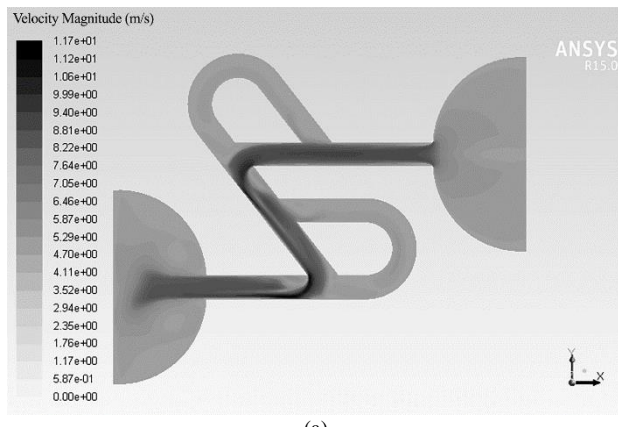
شکل 4 افت فشار کل جریان رفت و برگشت برای شبکه‌های مختلف

برای حالت رفت به عنوان شبکه درشت برای حالت برگشت مورد استفاده قرار می‌گیرد. شبکه یکسان در دو حالت، 108131 سلول دارد و با یک خط چین نمایش داده است. با توجه به نزدیکی نتایج برای دو شبکه آخر، در نهایت از شبکه با تعداد سلول 254837 254837 جهت انجام محاسبات غیردائم استفاده می‌شود.

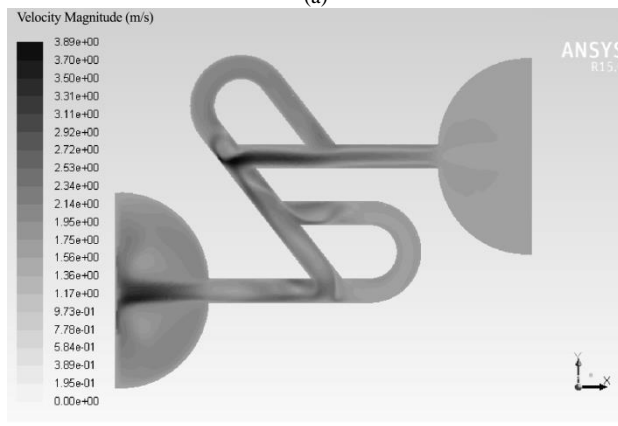
5- مطالعه گام زمانی

از متوسط زمانی یکسوزنندگی در میکروشیر (معادله (8)), به عنوان معیار جهت تعیین گام زمانی بهینه استفاده می‌شود. اندازه گام زمانی بهینه در شرایط کاری مختلف میکروشیر، به عبارتی فرکانس‌های کاری مختلف تغییر می‌کند، چون عدد رینولذ در شرایط کاری مختلف متفاوت است. گام زمانی بهینه می‌بایست به گونه‌ای باشد که هنگام همراه شدن با فرکانس تحریک، با تغییرات کوچک در جابجایی سیال معادله داشته باشد (در واقع گام زمانی می‌بایست ضریبی از دوره تناوب باشد) به طوریکه هر تغییر متناظر در میدان جریان بتواند ذکر شود. بررسی استقلال جواب از گام زمانی، در بیشترین فرکانس مورد بررسی که منجر به کمترین پریود زمانی و در نتیجه کوچک‌ترین گام زمانی می‌شود، تعیین می‌گردد تا در سایر فرکانس‌ها بتوان با اطمینان از این گام زمانی استفاده کرد. گام‌های زمانی 0.005، 0.01، 0.02، 0.04 و 0.08 برابر پریود زمانی سرعت نوسانی در ورودی میکروشیر مورد بررسی قرار گرفتند. عملکرد میکروشیر بعد از حدود سه الی چهار سیکل به شرایط کارکرد پایدار (شرایط شبه پایا) می‌رسد و متغیرهای سیال به مقادیر ثابتی رسیده و اغتشاش‌های ناشی از شرایط اولیه به طور کامل از پاسخ عددی حذف می‌شود.

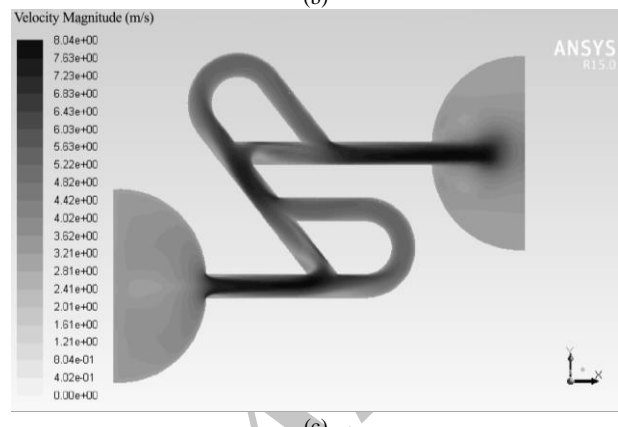
شکل 5 مقدار متوسط زمانی یکسوزنندگی را در هر سیکل برای گام‌های زمانی مختلف تحت تحریک هارمونیک نشان می‌دهد. مشاهده می‌شود اندازه پارامتر یکسوزنندگی برای گام‌های زمانی $\tau = 0.005\tau$ ، 0.01τ ، 0.02τ و 0.05τ یکسان شده است. اختلاف یکسوزنندگی در دو گام زمانی $\tau = 0.02\tau$ و 0.01τ حدود 7.4 درصد و اختلاف یکسوزنندگی در دو گام زمانی $\tau = 0.005\tau$ و 0.01τ حدود 5.7 درصد می‌باشد. بنابراین برای دقت بیشتر، گام زمانی $\tau = 0.01\tau$ مورد استفاده قرار گرفته. این گام زمانی به اندازه کافی کوچک است که تمام تغییرات در میدان جریان را در طول حل نمایش دهد و از طرفی به اندازه کافی بزرگ است که زمان محاسباتی قابل قبولی را به دست دهد.



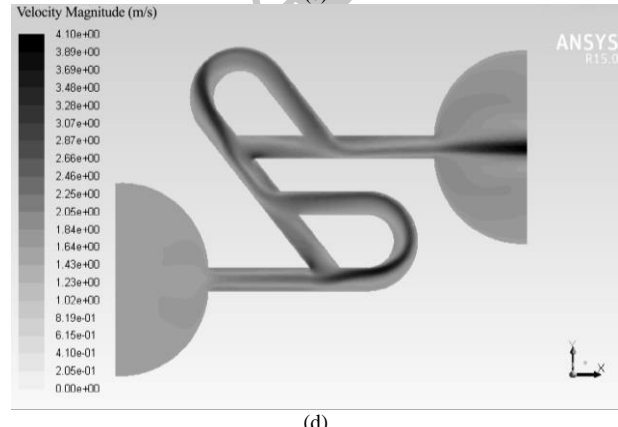
(a)



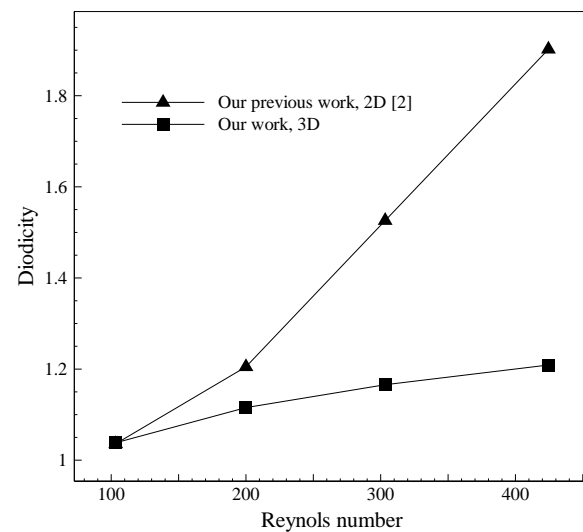
(b)



(c)



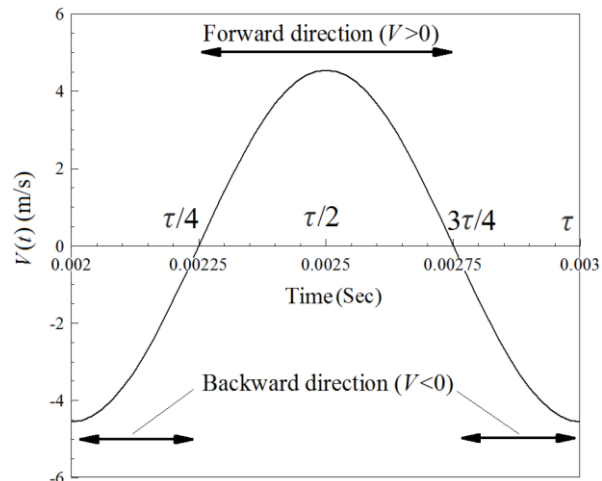
(d)

Fig. 8. Velocity contours at $Re=426$ and $f=1000Hz$ at different times: a) $t=0.002s$, b) $t=0.00225s$, c) $t=0.0025s$, d) $t=0.00275s$ شکل 8 کانتورهای سرعت در $Re=426$ و $f=1000Hz$ در زمان‌های مختلف: a) $t=0.00275s$ (d) $t=0.0025s$ (c) $t=0.00225s$ (b) $t=0.002s$ (a)**Fig. 6.** Diodicity as Reynolds number in steady 2D and 3D simulations

شکل 6 نمودار یکسوزنندگی بر حسب عدد رینولدز در شبیه‌سازی دائم دوبعدی و سه‌بعدی

نتایج برای چهار زمان کلیدی (ابتدا سیکل، یک چهارم سیکل، نیمه سیکل، سه چهارم سیکل) ارائه می‌شود. جهت دستیابی به این نتایج، از گام زمانی 0.01t استفاده شده است. در نتیجه برای حالت مذکور، همانگونه که در شکل 7 نشان داده شده است، نتایج در زمان‌های 0.00275, 0.0025, 0.00225, 0.002 ثانیه گزارش می‌شود. با توجه به کارکرد شبکه پایا میکروشیر و رفتار تکرارپذیر آن در طی سیکل‌های مختلف، بدینه است که رفتار جریان در انتهای هر سیکل مشابه ابتدای آن سیکل می‌باشد. نتایج مربوط به سایر اعداد رینولدز و همچنین سایر فرکانس‌ها مشابه همین حالت بوده و تنها تفاوت در مقدار پارامترهای جریان می‌باشد. لذا از ذکر آنها خودداری می‌شود. شایان ذکر است که تامسون و همکاران [7] در حل سه‌بعدی خود به این کانتورها تنها در جهت‌های رفت و برگشت اشاره کرده بودند و تغییرات زمانی این کانتورها در مطالعه آن‌ها بررسی نشده بود.

کانتورهای سرعت در شکل 8 نشان داده شده است. برای جریان‌های رفت و برگشت، جدایش جریان و جت‌های آرام در محل تقاطع کانال‌ها و

**Fig. 7.** Key times in the unsteady function of microvalve for a frequency of 1000Hz and Reynolds number 426

شکل 7 زمان‌های کلیدی در عملکرد غیر دائم میکروشیر برای فرکانس 1000Hz و عدد رینولدز 426

می‌چرخدن، در محل ورودی شیر ایجاد شده است که در حالت ب یعنی لحظه‌ای که سیال در حال تغییر جهت است، این گردابهای به سمت دهانه ورودی نزدیک‌تر هستند. همچنین، مشاهده می‌شود که جریان در خروجی هنوز به طرف چپ است و اثر تغییر جهت سرعت در ورودی شیر هنوز به بالادست جریان (خروجی شیر) منتقل نشده است مشاهده می‌شود که از شدت

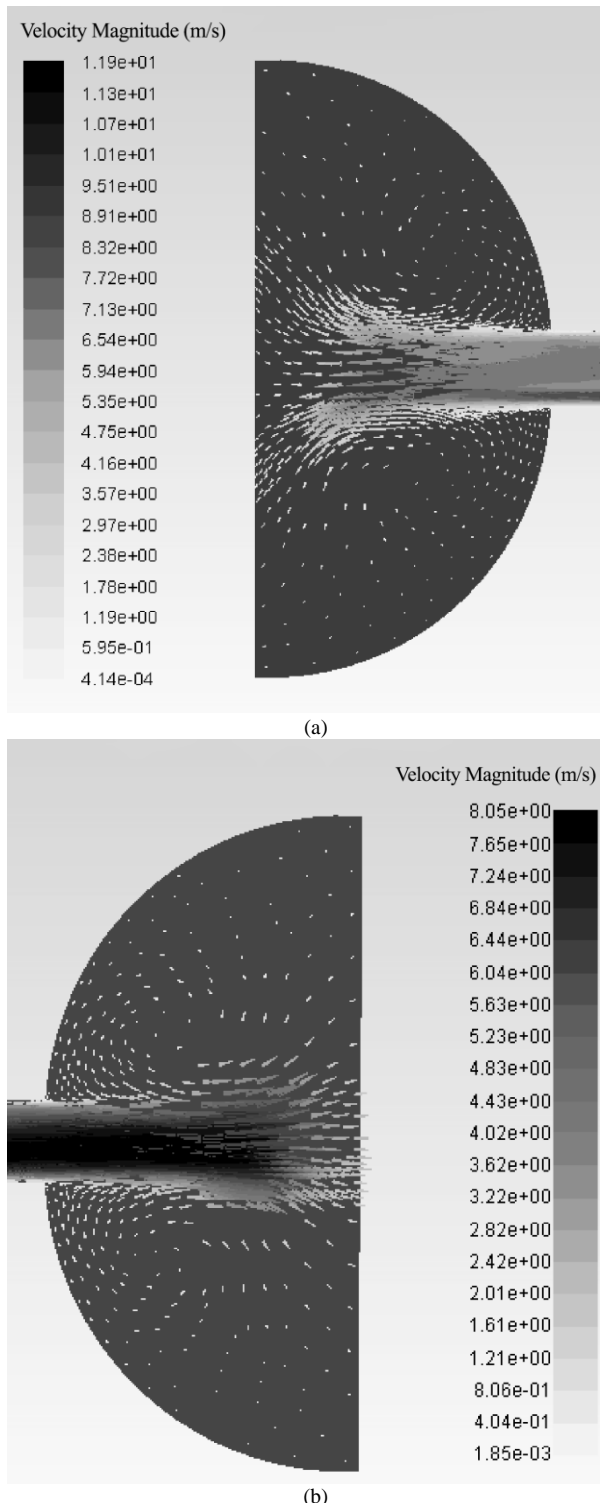


Fig. 9. Velocity vectors at the valve output at $\text{Re}=426$ and $f=1000\text{Hz}$ at different times: a) the Backward ($t=0.002\text{s}$), b) Forward ($t=0.0025\text{s}$)

شکل 9 بردارهای سرعت در خروجی شیر در $\text{Re}=426$ و $f=1000\text{Hz}$ در زمان‌های مختلف: (a) برگشت ($t=0.002\text{s}$), (b) رفت ($t=0.0025\text{s}$)

خروجی شیر اتفاق می‌افتد. این شکل‌ها بیان می‌کنند که با گذشت زمان و تغییر مقدار و جهت سرعت در ورودی شیر، بقیه میدان جریان درون میکروشیر نیز تحت تأثیر قرار گرفته و مقادیر سرعت در شیر تغییر می‌کند. خروج سیال به صورت جت در دو حالت a و c که به ترتیب مربوط به جریان برگشت و جریان رفت در شرایط حداقل سرعت می‌باشند، مشهود می‌باشد. شکل واضح تر این جت‌ها در شکل 9 توسط بردارهای سرعت نشان داده شده است. همچنین، شکل سه بعدی بردارهای سرعت در لحظه $t=0.002\text{s}$ و $t=0.0025\text{s}$ در شکل 10 آمده است. در این شکل، مسیری که سیال در دو جهت رفت و برگشت طی می‌کند، قابل تشخیص است. در شکل 10-a که مسیر برگشت را نشان می‌دهد، سیال با برخورد شدید به دیوارهای و تغییر مسیرهای ناگهانی افت فشار زیادی را تجربه می‌کند، در حالی که در شکل 10-b که مسیر رفت را نشان می‌دهد بخشی از سیال از مسیر با پس عبور کرده و به این ترتیب متتحمل افت فشار کمتری می‌شود.

برای شناسایی محل اتصال کانال‌های میکروشیر، این محل‌ها مطابق شکل 3 نام‌گذاری شده‌اند. بردارهای سرعت در محل‌های اتصال برای حالت رفت در حداقل سرعت ممکن (زمان $t=0.0025\text{s}$) در شکل 11 نشان داده شده است. در این شکل‌ها حرکت عمده جریان در مسیر اصلی و تشکیل جت ناچیه چرخشی در مسیرهای فرعی هنگام رسیدن به محل‌های تقاطع و نیز انحراف جریان اصلی هنگام اتصال دو جریان قابل مشاهده است. همانگونه که ذکر شد، عدم برخورد مستقیم سیال به دیواره در حالت رفت مانع افت فشار زیاد می‌شود. در شکل 11 در محل تقاطع‌های A و C ناچیه گردابهای تشکیل می‌گردد. برای حذف این نواحی گردابهای می‌توان زاویه محل تقاطع را تغییر داد ولی کلارای والو کاهاش می‌یابد [8].

بردارهای سرعت در محل اتصال کانال‌ها برای حالت برگشت در حداقل سرعت ممکن (زمان $t=0.002\text{s}$) در شکل 12 نشان داده شده است. آنچه در این شکل‌ها مشهود است، برخورد مستقیم سیال به دیوارهای در محل‌های A و C و تغییر مسیر ناگهانی آن است که در حالت برگشت، موجب افت فشار شدید می‌شود. در این حالت نیز تشکیل جت در کانال فرعی، جدایش جت در کانال‌های اصلی و نیز تشکیل ناچیه چرخشی در محل‌های A و C قابل مشاهده است.

کانتورهای فشار کل در شکل 13 نشان داده شده است. این شکل‌ها بیان می‌کنند که با تغییر مقدار و جهت سرعت در ورودی شیر با گذشت زمان، بقیه میدان جریان نیز تحت تأثیر قرار گرفته و مقادیر فشار در شیر تغییر می‌کند. کاهش فشار در جهت جریان در این شکل‌ها قابل مشاهده است. مشاهده می‌شود که افت فشار کل در جهت برگشت (زمان $t=0.002\text{s}$) نسبت به افت فشار کل در جهت رفت (زمان $t=0.0025\text{s}$) بیشتر بوده که منجر به ایجاد خاصیت یکسوکنندگی شیر می‌شود. میدان جریان برگشت شکل 13-a نشان دهنده‌ی یک افت فشار بزرگ دقیقاً بعد از تقاطع یا همان محل‌های A و C می‌باشد که چنین افت فشاری در جریان رفت مشاهده نمی‌شود. این افت فشار در حل غیر همدما موجب افت دمای بیشتر سیال در جهت برگشت می‌شود [14].

شکل 14 الگوهای جریان را درون میکروشیر در صفحه میانی میکروشیر (صفحه تقارن) نشان می‌دهد که در سایر مطالعات مربوط به شبیه‌سازی جریان در میکروشیر تسلایه آن اشاره‌ای نشده است. کانتور نشان داده شده در زمینه این شکل‌ها مربوط به مؤلفه افقی سرعت است. در تمامی شکل‌ها در محل‌های تقاطع یک سری گردابه در اثر جدایش جریان ایجاد شده است. مشاهده می‌شود که در دو حالت a و b، دو گردابه بزرگ که خلاف جهت هم

همچنین در فرکانس‌های مختلف، پارامتر یکسوکنندگی قابل استخراج است. تغییرات پارامتر یکسوکنندگی بر حسب عدد رینولدز تحت اعمال فرکانس‌های مختلف در شکل 15 قابل مشاهده است.

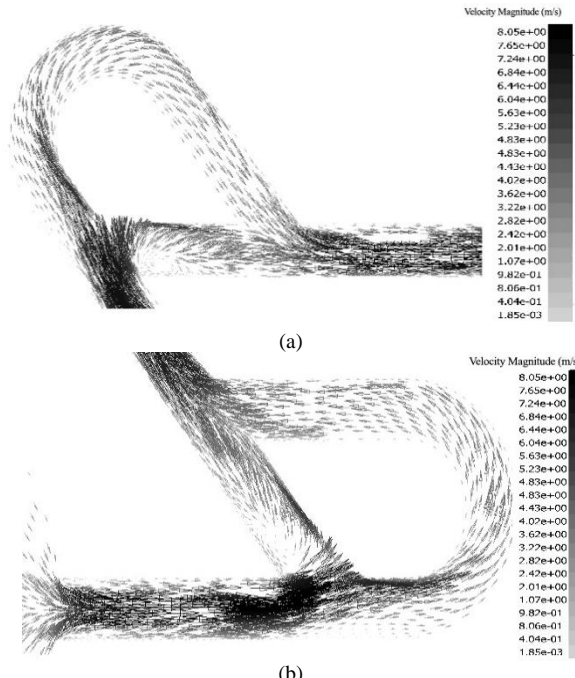


Fig. 11. The velocity vectors at the conjunctions at $Re=426$ and $f=1000\text{Hz}$ in the transition state ($t=0.0025 \text{s}$): a) location C and D, b) location A and B

شکل 11 بردارهای سرعت در محل‌های اتصال در $Re=426$ و $f=1000\text{Hz}$ در حالت رفت (a: $t=0.0025\text{s}$) و ب (b: $t=0.0025\text{s}$) محل C و D، محل A و B

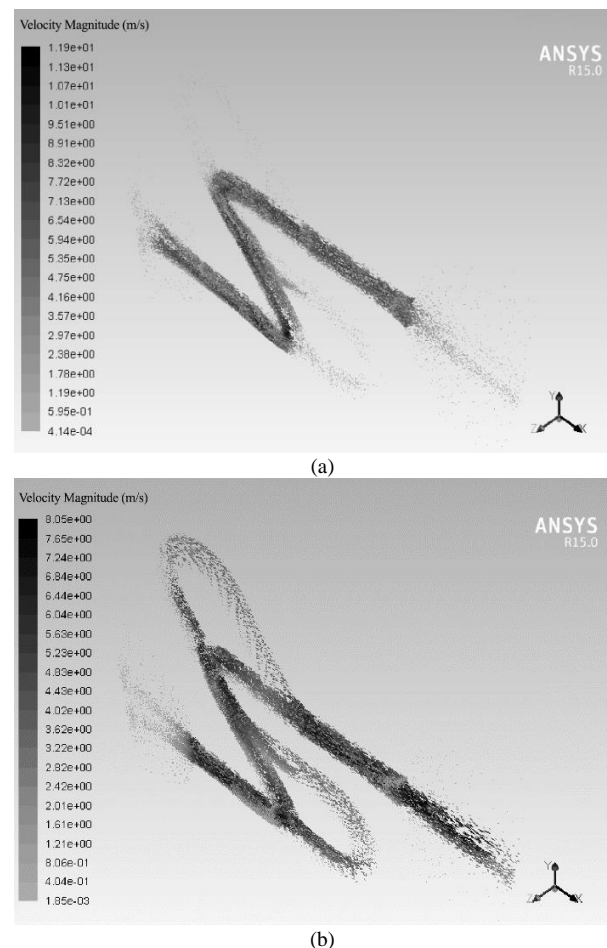


Fig. 10. Three-dimensional velocity vectors at $Re=426$ and $f=1000\text{Hz}$ at different times: a) backward ($t=0.002\text{s}$), b) forward ($t=0.0025\text{s}$)

شکل 10 بردارهای سرعت سه بعدی در $f=1000\text{Hz}$ و $Re=426$ در زمان‌های مختلف: (a) برگشت (backward), (b) رفت (forward)

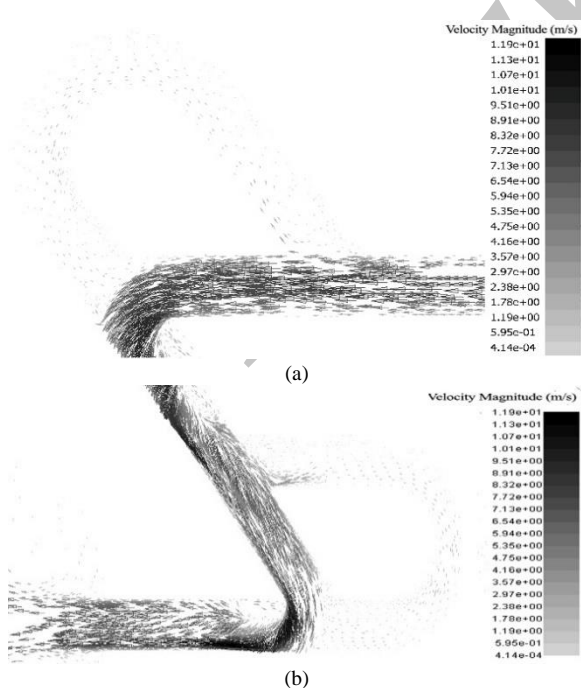


Fig. 12. The velocity vectors at the conjunctions at $Re=426$ and $f=1000\text{Hz}$ in backward mode ($t=0.002\text{s}$): a) location C and D, b) location A and B

شکل 12 بردارهای سرعت در محل‌های اتصال در $Re=426$ و $f=1000\text{Hz}$ در حالت رفت (a: $t=0.002\text{s}$) و ب (b: $t=0.002\text{s}$) محل C و D، محل A و B

گردابهای قبل تقاطع‌ها نیز با کاهش سرعت در ورودی کاسته شده است. شکل گیری دو گردابه کوچک در خروجی در لحظه $t=0.00225\text{s}$ قابل مشاهده است. در دو حالت c و d نیز در خروجی شیر، می‌توان جریان‌های برگشتی را مشاهده کرد. شکل d-14 نیز کاهش شدت گردابه‌های قبل تقاطع‌ها را به علت کاهش سرعت در ورودی شیر نشان می‌دهد. جهت بردارهای سرعت در خروجی شیر در این لحظه بیانگر این مطلب است که اثر تغییر جهت بردارهای سرعت در ورودی، هنوز به خروجی شیر نرسیده است. شکل گیری دو گردابه کوچک در ورودی شیر در این لحظه قابل رویت است که با افزایش سرعت و رسیدن به حالت الف شدت خواهد گرفت.

می‌توان پیش‌بینی کرد که با کاهش مقدار فرکانس تحریک و همچنین عدد رینولدز، با توجه به تغییر مونتموم سیال و در نتیجه خاصیت اینرسیایی آن، از اندازه‌ی گردابه‌های تولیدی درون میکروشیر نیز کاسته شود. انتظار می‌رود که اندازه‌ی این گردابه‌ها بر خاصیت یکسوکنندگی شیر تأثیر بگذارد. کلاه‌دوز و همکاران [15] اثر فرکانس اعمالی را بر ساختار جریان درون یک میکروپمپ پیزوالکتریک با میکروشیرهای نازل-دیفیوژری بررسی کردند و نشان دادند با افزایش فرکانس، توانایی پمپاژ میکروپمپ بهبود می‌یابد.

6-3- نتایج مربوط به فرکانس‌های مختلف
با حل جریان سه‌بعدی و ناپایا در میکروشیر تسلای در اعداد رینولدز مختلف و

همان‌گونه که در شکل 15 مشاهده می‌شود با افزایش عدد رینولدز، مقدار یکسوزکنندگی در تمام فرکانس‌ها افزایش یافته است. برای یک عدد رینولدز مشخص، با افزایش فرکانس، یکسوزکنندگی افزایش اندکی داشته است که این افزایش در فرکانس‌های بالاتر مشهودتر می‌باشد. افت فشار در میکرووالو ناشی از اتلافات ویسکوز و اتلافات دینامیکی یا اینرسیایی است. در مسیر رفت، اتلافات ویسکوز و در مسیر برگشت اتلافات اینرسیایی غالب هستند [10]. با افزایش فرکانس تلفات اینرسیایی نسبت به تلفات ویسکوز شدت می‌گیرد که

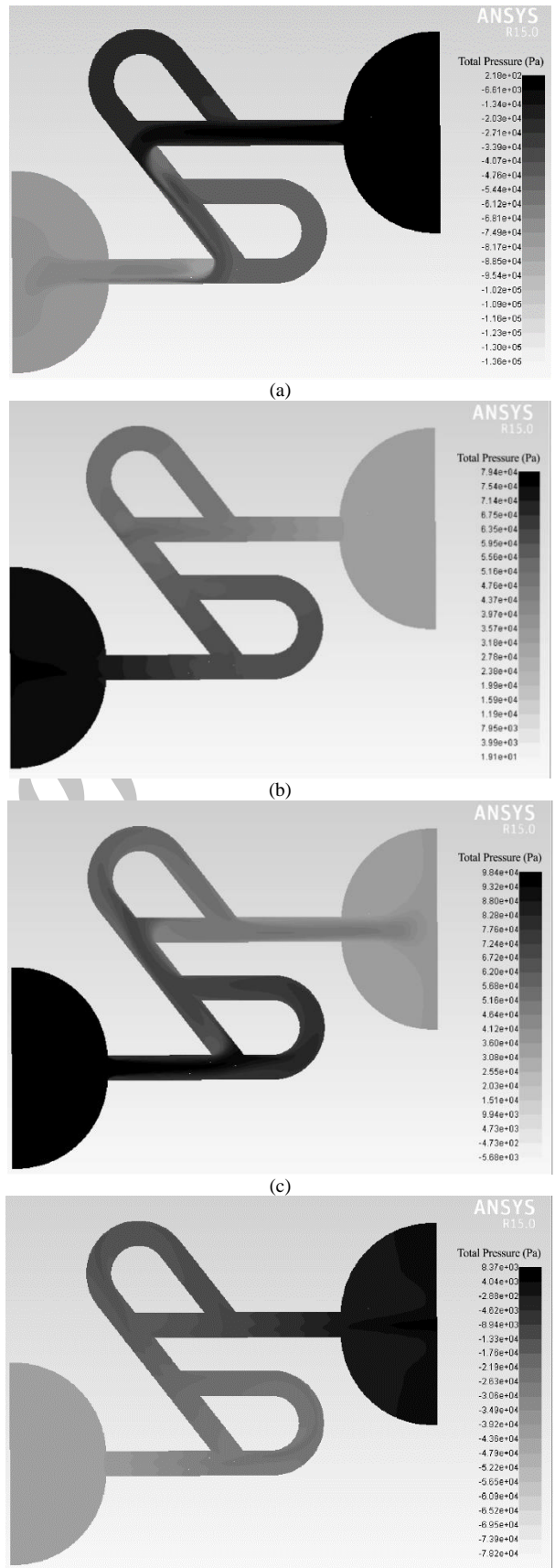
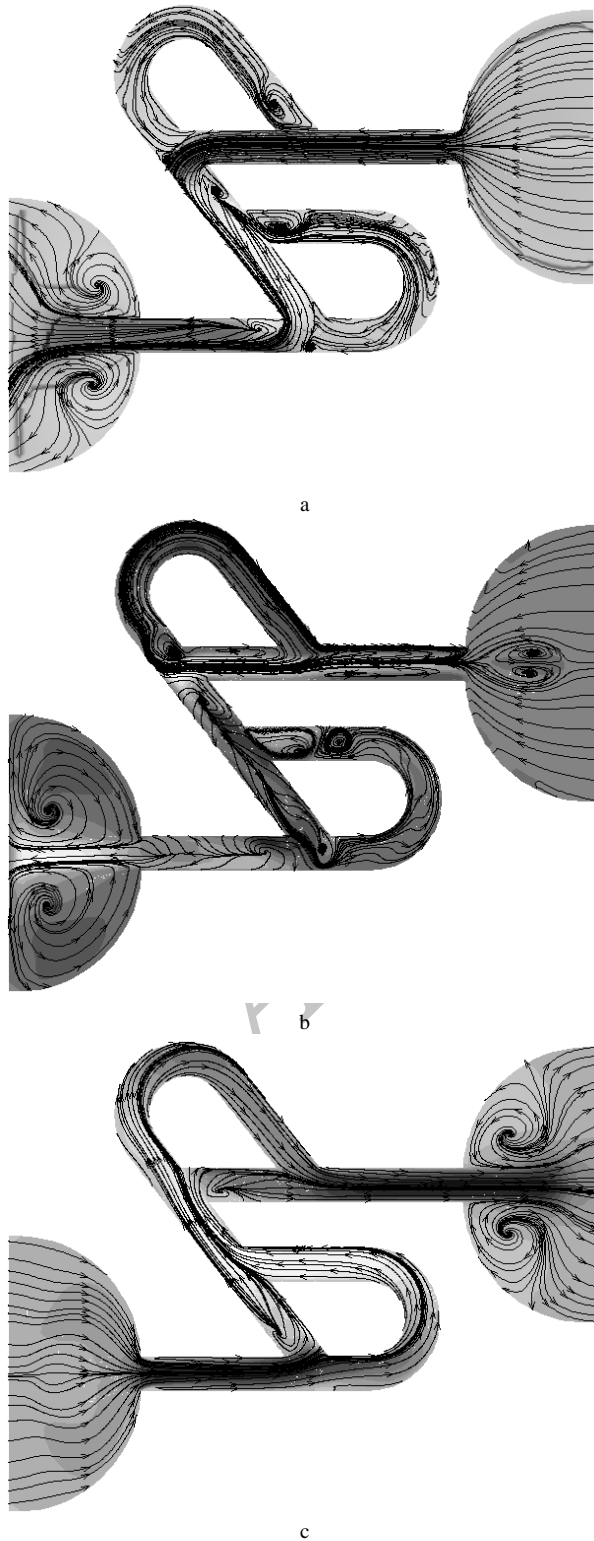


Fig. 13. Pressure contours at $Re = 425$ and $f=1000Hz$ at different times:
a) $t=0.002s$, b) $t=0.00225s$, c) $t=0.0025s$, d) $t=0.00275s$

شکل 13 کانتورهای فشار در $f=1000Hz$ و $Re=425$ در زمان‌های مختلف: a) $t=0.00275s$ (d) $t=0.0025s$ (c) $t=0.00225s$ (b) $t=0.002s$

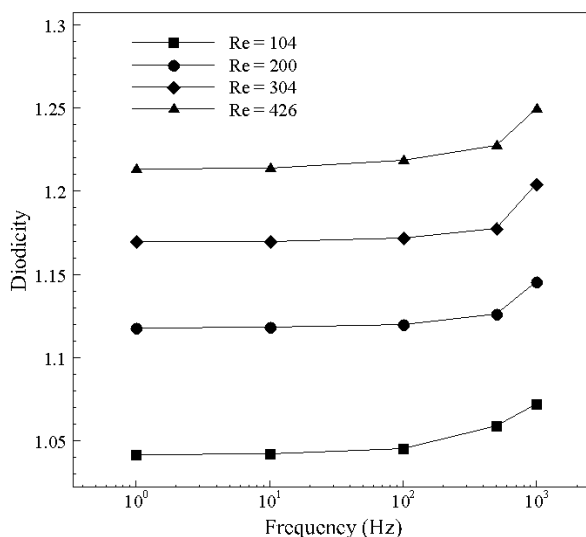
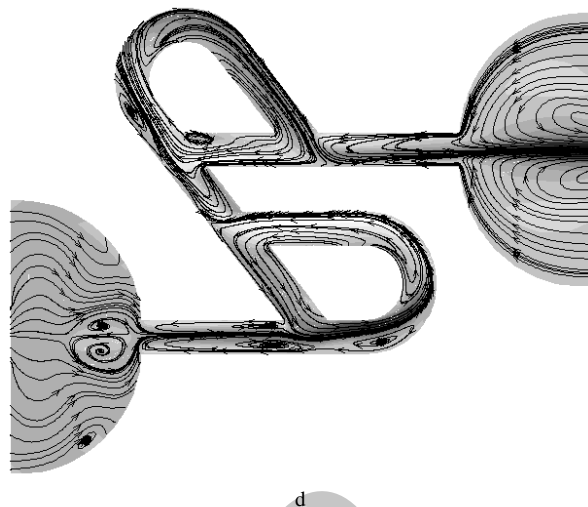


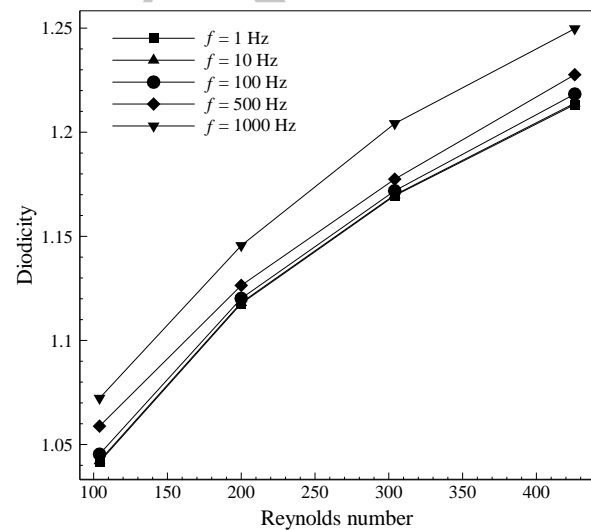
Fig. 16. Diodicity as actuation frequency in different Reynolds numbers

شکل ۱۶ تغییرات یکسوکنندگی بر حسب فرکانس تحریک در اعداد رینولدز مختلف



شکل ۱۴ خطوط جریان در $Re=425$ و $f=1000Hz$ در زمان‌های مختلف: a)

ب) $t=0.00275s$, c) $t=0.00225s$, d) $t=0.0025s$, e) $t=0.002s$



شکل ۱۵ تغییرات یکسوکنندگی بر حسب عدد رینولدز در فرکانس‌های مختلف

در مسیر برگشت به دلیل برخورد جتهای سیال به دیوارهای یا اختلاط دو جت

سیال و جدایش جریان مقدار این تلفات بیشتر است و در نتیجه یکسوکنندگی والو افزایش می‌یابد. این تغییرات اهمیت شبیه‌سازی غیردائم را نشان می‌دهد که با شبیه‌سازی‌های دائم قابل مشاهده نیست.

برای مشاهده بهتر اثر گذرا بر عملکرد میکروشیر در حالت سه بعدی، نتایج به دست آمده شامل متوسط زمانی افت فشار کل در دو جهت رفت و برگشت برای شبیه‌سازی غیردائم (فرکانس $1000Hz$) و نیز افت فشار کل در دو جهت رفت و برگشت برای شبیه‌سازی دائم، در جدول ۱ گزارش شده است. همانگونه که انتظار می‌رود در پاسخ هر دو حالت، افت فشار کل در جهت برگشت از متناظر آن در جهت رفت بزرگ‌تر می‌باشد که همین امر موجب عملکرد شیر در یک سیکل رفت و برگشت آن می‌شود. همانطور که می‌توان دید، افت فشار کل در پاسخ حالت غیردائم میکروشیر در هر دو جهت رفت و برگشت از پاسخ حالت دائم بیشتر است، این نتایج با نتایج مرجع [2] تطابق کیفی دارد. اما از نظر کمی، نتایج مربوط به شبیه‌سازی‌های سه بعدی تجربه شده در این تحقیق قابل اعتمادتر می‌باشد.

7- نتیجه‌گیری

در این مقاله عملکرد میکروشیر تسلای به عنوان یک نمونه شیر فاقد اجزای متحرک تحت شرایط شبه واقعی یعنی جریان سه بعدی و غیردائم به صورت

جدول ۱ افت فشار کل در دو جهت رفت و برگشت و پارامتر یکسوکنندگی برای شبیه‌سازی‌های دائم و غیر دائم در اعداد رینولدز مختلف

Table 1. Total pressure drop in both return directions and the one-way parameter for permanent and non-permanent simulations in different Reynolds numbers

پاسخ حالت غیردائم میکروشیر (فرکانس 1000Hz)			پاسخ حالت دائم میکروشیر			عدد رینولدز
$\Delta P_{\text{Backward}}$ (kPa)	$\Delta P_{\text{Forward}}$ (kPa)	D_i	$\Delta P_{\text{Backward}}$ (kPa)	$\Delta P_{\text{Forward}}$ (kPa)	D_i	
7.70	7.18	1.07	6.62	6.38	1.04	104
19.83	17.31	1.15	17.31	15.51	1.12	200
38.27	31.78	1.20	33.02	28.33	1.17	304
67.04	53.67	1.25	57.00	47.15	1.21	426

این نتایج نشان می‌دهد که بررسی عملکرد شیرها به این طریق یک روش ارزشمند و دقیق برای طراحی صحیح شیر می‌باشد. مشاهدات نتایج سه بعدی و غیردائم این تحقیق می‌تواند آشکار کننده روند تغییراتی باشد که بطور دقیق با بررسی‌های آزمایشگاهی قابل تعیین خواهد بود.

۸- فهرست عالیم

فشار ($\text{kgm}^{-1}\text{s}^{-2}$) P

قطر میکرو کانال D

قطر هیدرولیکی میکرو کانال D_h

فرکانس تحریک f

عدد رینولدز Re

زمان (s) t

سرعت (ms^{-1}) u_i

عرض میکرو کانال W

عالیم یونانی

لرجت دینامیکی ($\text{kgm}^{-1}\text{s}^{-1}$) μ

چگالی (kgm^{-3}) ρ

زمان انجام یک پریود زمانی تحریک (s) τ

۹- مراجع

- K. Mohammadzadeh, E. M. Kolahdouz, E. Shirani, M. B. Shafii, Numerical study on the effect of the number of stages on the performance of Tesla microvalve and comparison with nozzle/diffuser microvalve, *Modares Mechanical Engineering*, Vol. 12, No. 6, pp. 124-135, (in Persian)
- K. Mohammadzadeh, E. M. Kolahdouz, E. Shirani, M. B. Shafii, Numerical Investigation on the effect of the size and number of stages on the Tesla microvalve efficiency, *Journal of Mechanics*, Vol. 29, No. 3, September 2013, pp. 527-534, 2013.
- E. M. Kolahdouz, K. Mohammadzadeh, E. Shirani, Design, simulation and experimental validation of a piezoelectric micropump with modified tesla-type valves, *21st Annual International Conference on Mechanical Engineering*, School of Mechanical Engineering, Khajeh Nasir Toosi University, Tehran, Iran, 7-9 May, 2013.
- C. L. Sun, K. H. Huang, Numerical characterization of the flow rectification of dynamic microdiffusers, *Journal of Micromechanics and Microengineering*, Vol.16, No. 7, pp. 1331-1339, 2006.
- C. T. Wang, T. S. Leu, J. M. Sun, Unsteady analysis of microvalves with no moving parts, *Journal of Mechanics*, Vol. 23, No. 1, pp. 9-14, 2007.
- C. K. Chung, T. R. Shih, B. R. Wu, Simulation of the novel micro-valve using dynamic analysis, *Proceedings of the 2009 4th IEEE International Conference on Nano/Micro Engineered and Molecular Systems*, Shenzhen, China, IEEE, January 5-8, 2009.
- S. M. Thompson, B. J. Paudel, T. Jamal, D. K. Walters, Numerical investigation of multistaged tesla valves, *ASME Journal of Fluids Engineering* 136, no. 8 /081102, pp. 1-9, 2014.
- B. Dennai, M. E. B. Belboukhari, T. Chekifi, R. Khelfaoui, Numerical investigation of flow dynamic in mini- channel: Case of a mini diode tesla, *Fluid Dynamics & Materials Processing*, Vol. 12, No. 1, pp. 102-110, 2016.
- Y. Sato, K. Yaji, K. Izui, T. Yamada, S. Nishiwaki, Topology optimization of a no-moving-part valve incorporating Pareto frontier exploration, *Structural and Multidisciplinary Optimization*, Vol. 56, Issue 4, 839-851, 2017.
- F. Forster, R. Bardell, M. Afromowitz, N. Sharma, A. Blanchard, Design, fabrication and testing of fixed-valve micropumps, *Proceedings of ASME International Mechanical Engineering Congress and Exposition San*

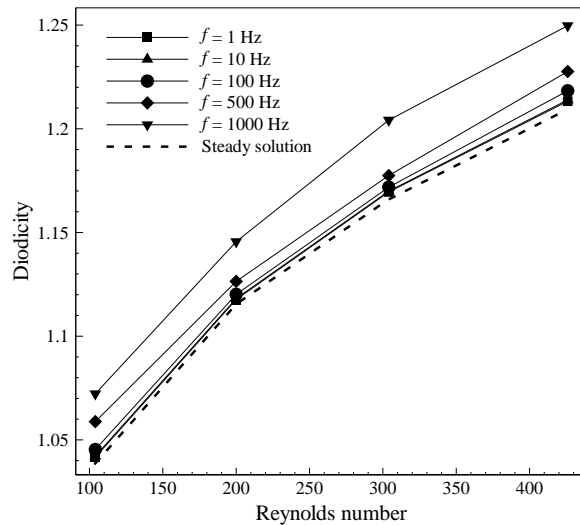


Fig. 17. Diodicity of Tesla microvalve in three-dimensional simulation for steady and unsteady conditions

شکل ۱۷ یکسوکنندگی میکروشیر تسلای در حالت سه بعدی برای حالت دائم و غیر دائم

عددی مطالعه شد و نتایج مهم زیر به دست آمد:

- شبیه‌سازی سه بعدی در تمام محدوده اعداد رینولدز مورد بررسی مقدار پارامتر یکسوکنندگی کمتری را نسبت به شبیه‌سازی دو بعدی به نمایش می‌گذارد. وجود بعد سوم موجب ایجاد افت فشار جدیدی می‌شود که در نهایت منجر به کاهش مقدار یکسوکنندگی نسبت به حالت دو بعدی می‌شود.

- افت فشار کل در پاسخ حالت دائم آن بیشتر می‌باشد. این نتیجه مهم با نتایج قبلی نویسندهای مقاله در این زمینه که شبیه‌سازی خود را به صورت دو بعدی انجام داده بودند، هم خوانی کیفی داشت. اما از نظر کمی، شبیه‌سازی‌های سه بعدی انجام شده در این تحقیق قابل اعتمادتر می‌باشد.

- بررسی اثر فرکانس اعمالی بر عملکرد میکروشیر تسلای در اعداد رینولدز مختلف نشان داد که که عملکرد میکرو شیر تسلای در فرکانس‌های پایین ($f < 100\text{Hz}$) مستقل از فرکانس اعمالی بوده در حالی که در فرکانس‌های بالاتر ($f > 100\text{Hz}$) عملکرد آن با افزایش فرکانس بهبود می‌باید. روند تغییرات نمودار یکسوکنندگی بر حسب فرکانس کاری برای تمامی اعداد رینولدز یکسان بود. در تمامی فرکانس‌ها با افزایش عدد رینولدز، عملکرد میکروشیر بهبود می‌باید و مقدار یکسوکنندگی آن افزایش می‌باید.

مسلمان نتایج به دست آمده از این تحقیق قابل تعمیم به میکرو شیرهای تسلای با هندسه‌های متفاوت با میکروشیر مورد بررسی در این مقاله می‌باشد.

- operation of a Tesla-type valve for pulsating heat pipes, *International Journal of Heat and Mass Transfer*, Vol. 105, pp. 1–11, 2017.
- [14] B. J. Paudel, T. Jamal, S. M. Thompson, D. K. Walters, Thermal effects on micro-sized tesla valves, *Proceedings of the ASME, 4th Joint US-European Fluids Engineering Division Summer Meeting, FEDSM2014*, Chicago, Illinois, USA, pp. 1–8, August 3–7, 2014.
- [15] E. M. Kolahdouz, K. Mohammadzadeh, E. Shirani, S. Ziae Rad, Performance of piezoelectrically actuated micropump with different driving voltage shapes and frequencies, *Journal of Scientia Iranica B*, Vol. 21, No. 5, pp. 1635 - 1642, 2014.
- Francisco, CA, New York, USA, pp. 39-44, 1995.
- [11] F. Forster, B. Williams, Parametric design of fixed-geometry microvalves – the tesser valve, *Proceedings of ASME International Mechanical Engineering Congress & Exposition*, New Orleans, Louisiana, November 17–22, pp. 431–437, 2002.
- [12] A. Gamboa, C. Morris, F. Forster, Improvements in fixed-valve micropump performance through shape optimization of valves, *Journal of Fluids Engineering*, Vol. 127, Issue 2, pp. 339–346, 2005.
- [13] S. F. de Vries, D. Florea, F. G. A. Homburg, A. J. H. Frijns, Design and

Archive of SID